

徳島大学工業短期大学部 正員 ○山崎泰三朗
 " " 森吉滿助

1. まえがき

アスファルト混合物を利用する構造物の設計およびパフォーマンスの評価を合理的に行なうため、アスファルト混合物の粘弹性状の研究が進められている。しかしアスファルト混合物は結合材であるアスファルトの性状と骨材の性状が著しく異なる複合材料であり、その粘弹性状は複雑で検討を要する問題点も多い。本研究はアスファルトとアスファルト混合物の圧縮載荷による応力緩和試験および定ひずみ速度試験（一軸圧縮）から得られた粘弹性状および内試験法の問題点につき報告するものです。

2. 実験概要

2-1 使用材料 応力緩和試験に使用した混合物はアスファルトモルタル（骨材最大寸法5mm, A5量12%）とマスチックアスファルト（0.6mm, A5量20%）であり、アスファルトは針入度級8/100である。一軸圧縮試験にはアスファルトモルタルとアスファルトを使用した。アスファルトモルタルは混合、転圧後30×30×5.2cmの版から4×4×10cmに切り出し、他は4×4×10cmの型枠に流し込んで作製した。

2-2 載荷装置および実験方法 両試験方法にはインストロン万能試験機を使用した。本試験機の性能等については省略するが恒温装置を取り付けた本機を写真-1に示す。ただしアスファルト5°Cの実験は水槽中で行なった。荷重測定には5000, 500, 50kg容量のロードセルを使用し、変位は図-1のように供試体長 $l=10\text{cm}$ に対する変位 $\Delta l'$ とアスファルトモルタルについては中央部 $l=5\text{cm}$ の変位 Δl もストレングージ型の伸び計（圧縮も可能）で測定した。応力緩和はアスファルトで設定変位0.25, 初期変形速度5mm/分と10mm/分で行ない、混合物に対してはそれ0.10mm, 5mm/分とし、通常20分間測定した。一軸圧縮試験は供試体と温度により50, 10, 5, 1, 0.5, 0.1mm/分の内4~6の変形速度で行なった。試験温度については図中省略する。

3. 解析法および実験結果

3-1 応力・ひずみ・時間の関係と解析法 図-2にアスファルトモルタルの-5°Cと15°Cの応力緩和試験時のひずみ・時間、応力・時間関係の一例を示す。この図から ϵ と $\dot{\epsilon}$ とも時間と共に変化し、 $\dot{\epsilon}$ は ϵ に比べて相当大である。また ϵ は5°Cで60秒、15°Cで図示の如く20秒程度以後は一定値となり、-5,-15°Cでは実験中増加する。マスチックアスファルトは-5°Cでは伸び計の取り付け上、やや不備な点もあるが2, 3実験した結果では、初期の部分を除くと $\epsilon/\dot{\epsilon}' = 0.83 \sim 1.0$ であり、アスファルトと同様 ϵ のみを使用した。図-3にアスファルトモルタルの-5°C, 0.5mm/minの圧縮試験結果を示す。この結果でも、特に解析に必要な微少ひずみの部分で ϵ と $\dot{\epsilon}$ とも変化が大きい。同一の温度ではクロスヘッドの速度が遅いほどこの傾向が大きくなる。

載荷装置自身の変形を小さくすることによりひずみおよびひずみ速度の変化を小さくするとと思われるが、本試験機では恒温槽を使用するため、ロード部が長くなり、さらに混合物自身の変形係数も 10^5 kg/mm^2 以上になるので、ある程度の変形は当然生じると思わ

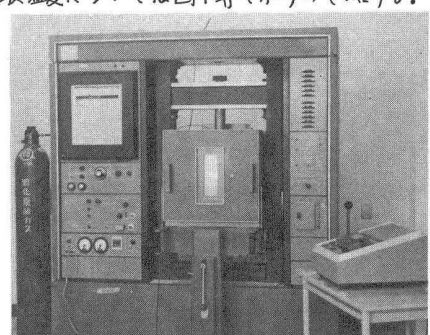


写真-1 試験装置

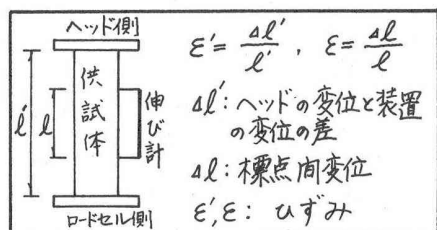


図-1 变位測定説明図

れる。また骨材量の多い舗装用混合物では $\delta(t)$ との差は大となるだろう。

前述のひずみが変化する応力緩和試験から緩和弾性率 $E_r(t)$ を数値解析する方法が発表されている⁽¹⁾。しかし本実験では、近似性はあると思われるが $E_r(t)$ を次式により求めめた。

$$E_r(t) = \frac{\delta(t)}{E(t)} \quad \text{ただし, アスファルトモルタル} \\ = \frac{\delta(t)}{E'(t)} \quad \text{ただし, マスチックアスファルト, アスファルト}$$

これは数値解析に必要な実験結果を得るには、温度、混合物を広範囲にとれば実験が不可能であることおよび計算と測定を容易にするためである。なお本実験では5秒の $E_r(t)$ については図により補正した。一軸圧縮試験からはスティフェネス $S(t)$ と定ひずみ速度とみなすことにより $E_r(t)$ を次の両式から求めた。⁽²⁾

$$S(t) = \frac{\delta(t)}{E(t)} \quad \text{ただし, アスファルトモルタル} \\ = \frac{\delta(t)}{E'(t)} \quad \text{ただし, アスファルト}$$

$$E_r(t) = S(t)(1+m)$$

$$\therefore m = \frac{d \log S(t)}{d \log t}$$

3-2 緩和弾性率およびスティフェネス 図-4, 図-5 1KPa
アスファルトモルタルの $E_r(t)$ と $S(t)$ の温度・時間依存性を示す。図-6
に $E_r(t)$ と $S(t)$ のマスター・カーブとシフト
ファクターを示す。詳細は講演時に述べる。

4. あとがき

インストロン万能試験機によるアスファルトおよびアスファルト混合物の静的応力緩和試験の困難性、複合材料としての複雑さ等について主として述べたが、ひずみの検出方法特に注意することが重要と思われる。今後、アスファルト混合物をアスファルト・骨材系として系統的に実験するつもりである。

最後に、本実験に協力して下さった当時工学部卒研生、現在松山市役所の木寺政良君に感謝いたします。

参考文献

- (1). K. E. Secor and C. L. Monismith, "Analysis and Interrelation of Stress-Strain-Time Data for Asphalt Concrete," *Transactions Soc. Rheology*, VII, 1963.
- (2). T. L. Smith, "Stress-Strain-Time-Temperature Relationships for polymers," *ASTM S.T.P. No. 325*, 1962

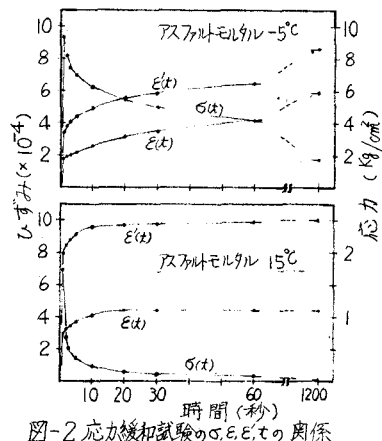


図-2 応力緩和試験での δ , ϵ , t の関係

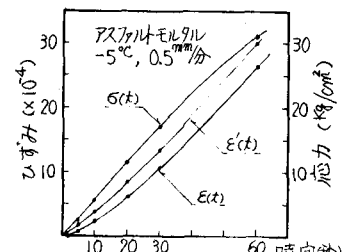


図-3 圧縮試験での δ , ϵ , t の関係

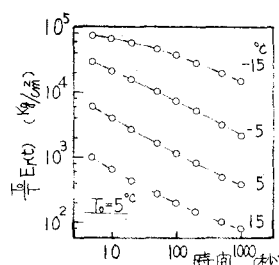


図-4 応力緩和試験による $E_r(t)$, t , T の関係(アスファルトモルタル)

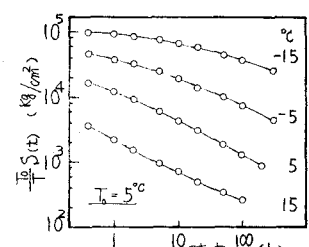


図-5 定ひずみ速度圧縮試験による $S(t)$, t , T の関係(アスファルトモルタル)

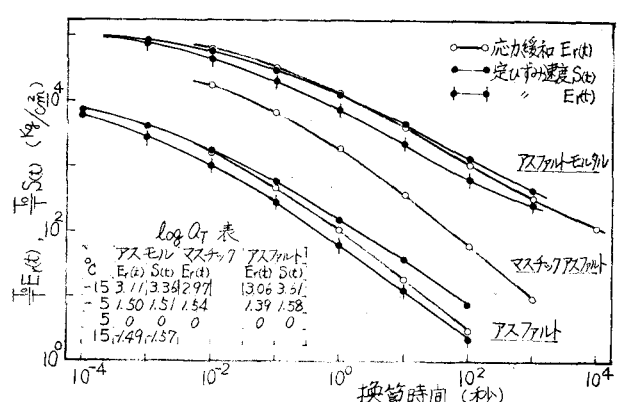


図-6 応力緩和, 定ひずみ速度試験による弾性率のマスター・カーブ